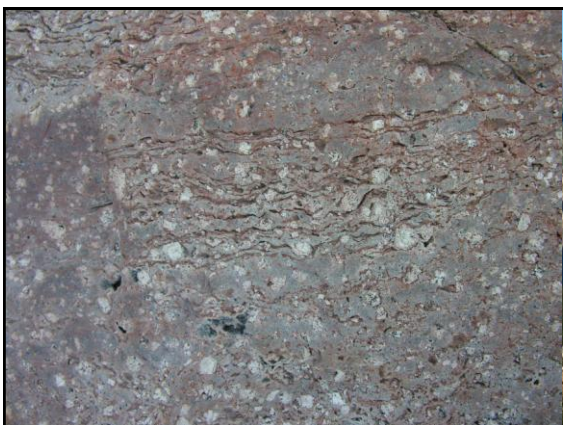
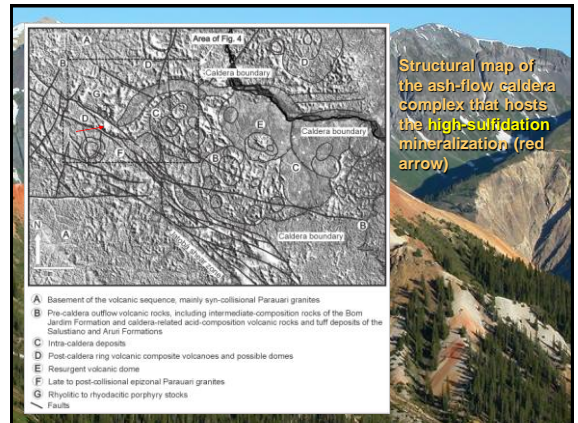
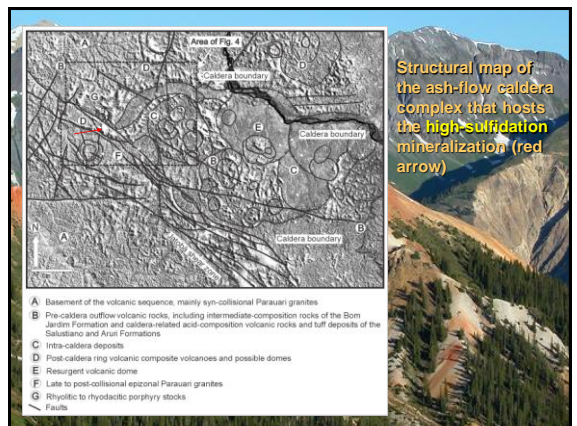
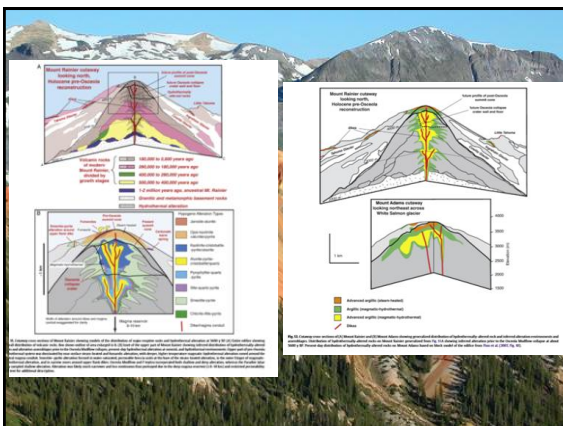
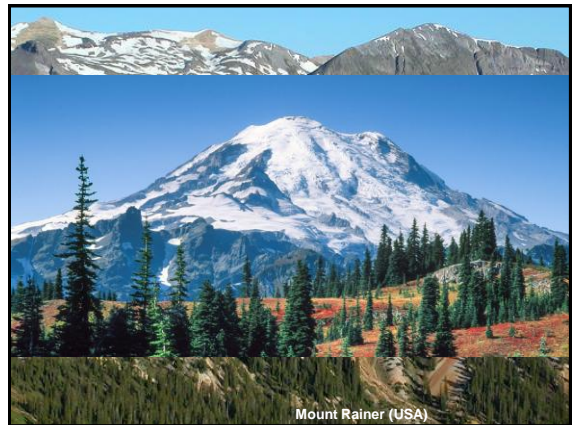
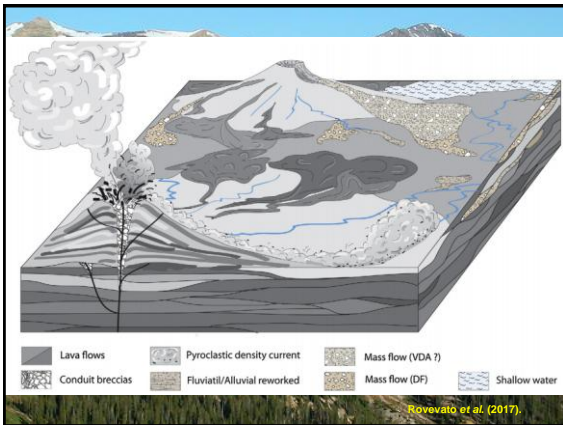
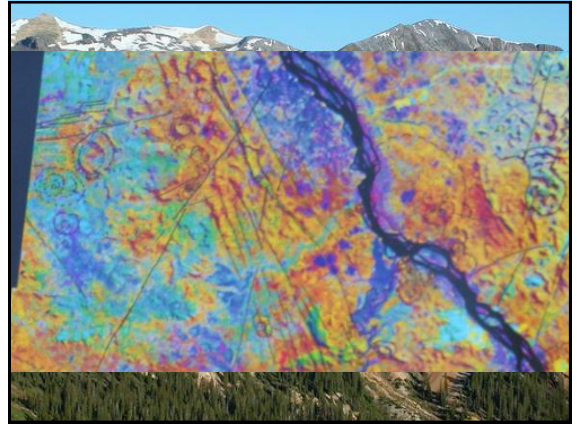
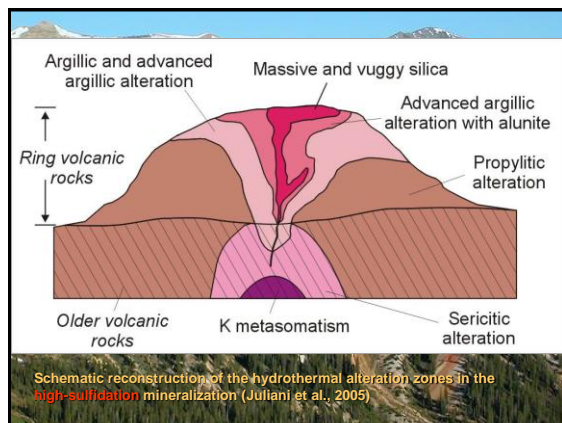
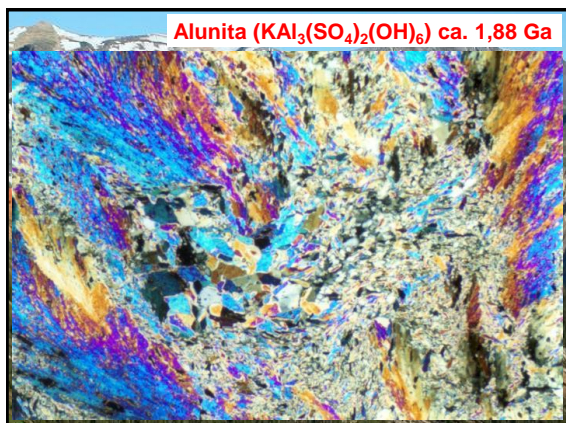
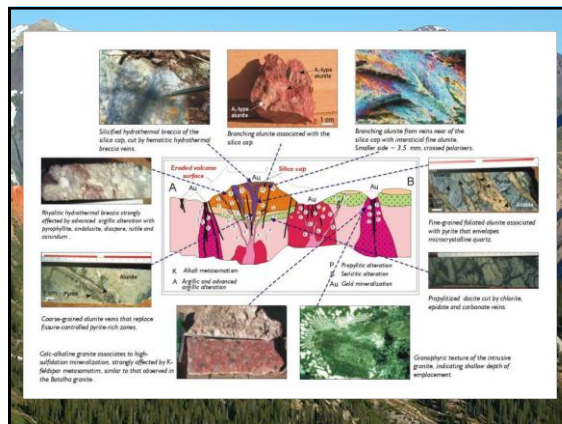
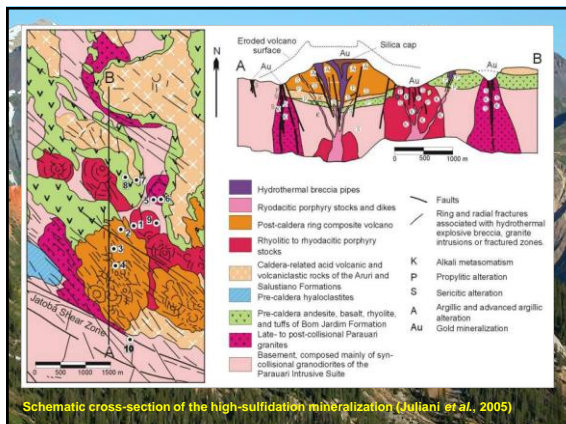


AULA	DATA	ASSUNTO
01	05/08	Introdução, Conceitos, Fluidos hidrotermais, interação fluido-rocha e alteração hidrotermal.
02	12/08	Origem e evolução de sistemas hidrotermais. Classificação e tipos de sistemas hidrotermais. Telescopagem em sistemas hidrotermais.
03	19/08	Tipos e estilos de alteração hidrotermal. Metassomatismo sódico e potássico, alterações argílica, cloritização, propilitica, sericitica, argílica e argílica avançada, carbonatização, silicificação, etc.
04	26/08	Magmatismo associados às mineralizações epitermais, pórfiros e IRGS. A importância dos eventos de <i>flat-subduction</i> . Zonamento tectônico, evolução tectono-magmática e estruturas tectônicas. Formação de complexos de caldeiras vulcânicas e sua relação com mineralizações magmática-hidrotermais.
	02/09	Não haverá aula – Proclamação da Independência - Semana de aulas em campo
05	09/09	Alteração hidrotermal e mineralizações em depósitos epitermais, em depósitos do tipo pórfiro calcio-alcalinos oxidados e reduzidos e em granitóides alcalinos.
06	16/09	<i>Intrusion Related Gold Systems</i> (IRGS) e <i>skarns</i> .
07	23/09	Alterações hidrotermais em depósitos de óxido de ferro-cobre-ouro (IOCG).
	30/09	PROVA 1
08	07/10	Sistemas vulcano-exalativos submarinos (depósitos VHMS).
	14/10	Não haverá aula – Dia da Padroeira do Brasil - Semana de aulas de campo
09	21/10	Alterações hidrotermais em depósitos do tipo Carlin e do tipo orogênico de metais preciosos.
	28/10	Não haverá aula – Feriado
10	04/11	Alterações hidrotermais em depósitos Sedimentares Exalativos (SEDEX ou CD) e Mississippi Valley (MTV).
11	11/11	Crítérios gerais para exploração mineral. Índices geoquímicos de alteração hidrotermal. Exemplos de sistemas hidrotermais em depósitos minerais.
	18/11	Feriado - Dia da consciência negra
12	25/11	Produtos metamórficos de rochas alteradas hidrotermalmente em sistemas epitermais vulcano-plutônicos. Exemplos.
	02/12	APRESENTAÇÃO E DISCUSSÃO DOS SEMINÁRIOS



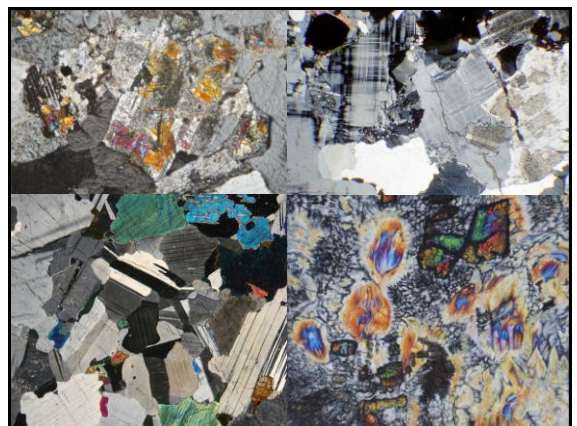
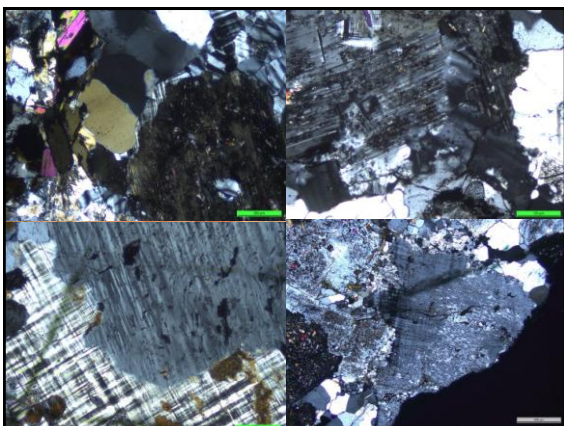
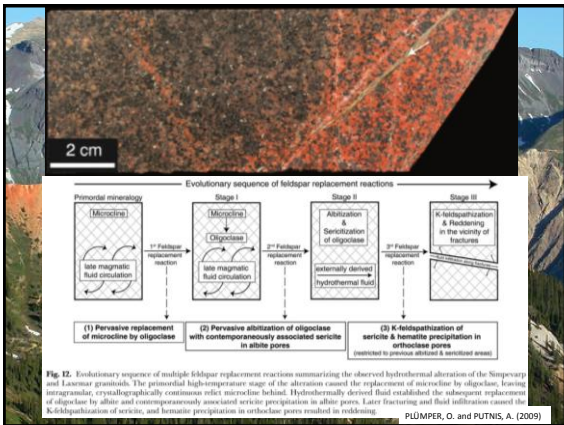


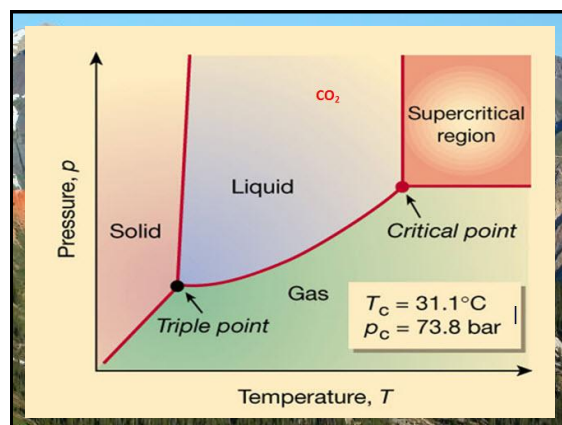
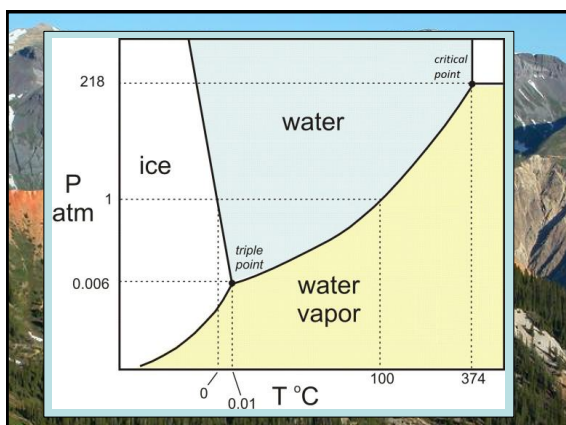




Em terrenos antigos, a superposição de eventos orogenéticos, metamorfismo e exumação favorecem a ocorrência de DEPÓSITOS MESOTERMAIS, em detrimento aos típicos depósitos de arcos magmáticos, representados pelos epitermais vulcanogênicos e pelos pórfiros

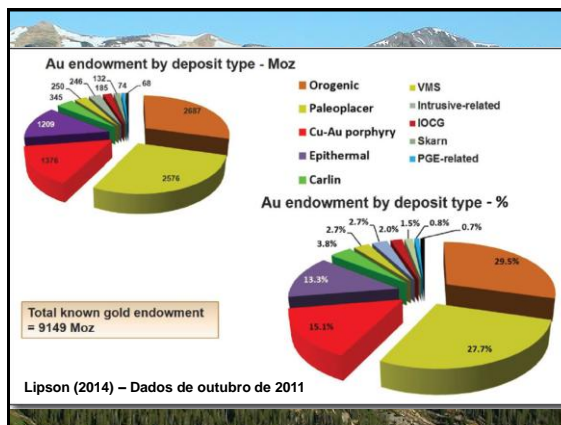
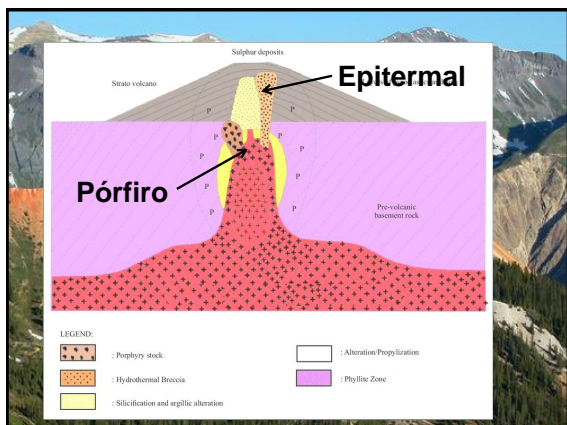
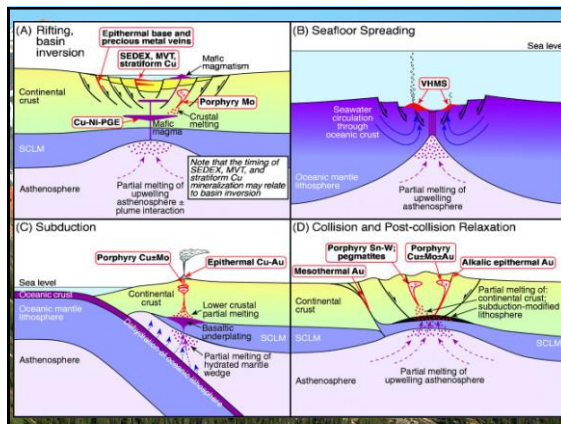
Apesar dessas premissas serem corretas, a descoberta de mineralizações epitermais HIGH- e LOW-SULFIDATION e do tipo PÓRFIRO paleoproterozóicos na Província Aurífera do Tapajós, Iri e Xingu demonstram haver potencialidade de mineralizações desses tipos em arcos magmáticos antigos





TIPOS DE DEPÓSITOS MINERAIS RELACIONADOS A ALTERAÇÃO HIDROTHERMAL

- 1) Pórfiros
- 2) Epitermais
- 3) Skarn
- 4) IOCG (Iron Oxide Copper Gold)
- 5) RIRGS (Reduced Intrusion Related Gold System)
- 6) Ouro orogênico
- 7) MVT (Mississippi Valley Type)
- 8) SEDEX (Sedimentary Hosted)
- 9) VMS (Volcanic Massive Sulfide)
- 10) Carlin
- 11) Associados a complexos alcalinos e carbonatitos
- 12) Etc, etc, etc.....



Mineralizações magmáticas-hidrotermais são fontes importantes de:

Au, Ag, Hg, Zn, Pb, Cu, Cd, As, Sb, Bi, Se, Te, Ga, Ge, In, Tl, Mo e Sn

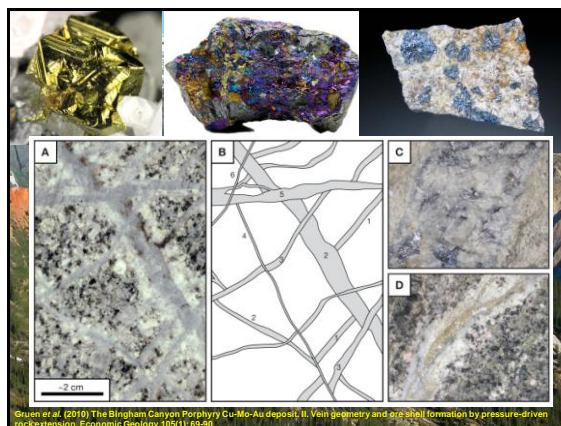
Much of today's metal production is mined from mineral systems of a specific type of geology.

Today's production from porphyries:

COPPER

MOLYBDENUM

GOLD

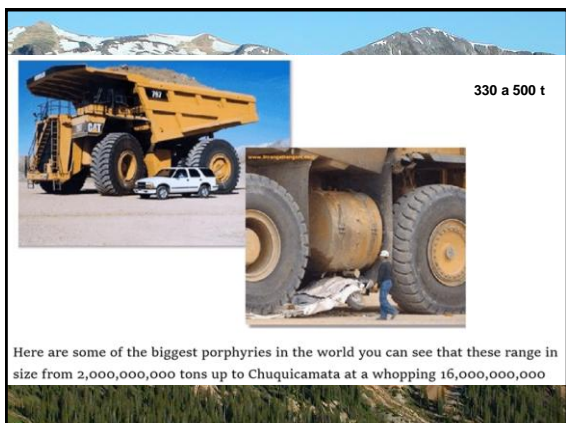


Porphyries - Bingham Canyon

- Most porphyries are too big and low grade to mine from underground. Usually open pitted.



Bingham Canyon



O estudo da alteração hidrotermal é importante para:

- 1) Exploração mineral
- 2) Definição do modelo genético do depósito
- 3) Localização de corpos "cegos"
- 4) Localização de extensões de corpos de minérios em minas
- 5) Identificação de corpos satélites em *brown field*

Além da exploração mineral:

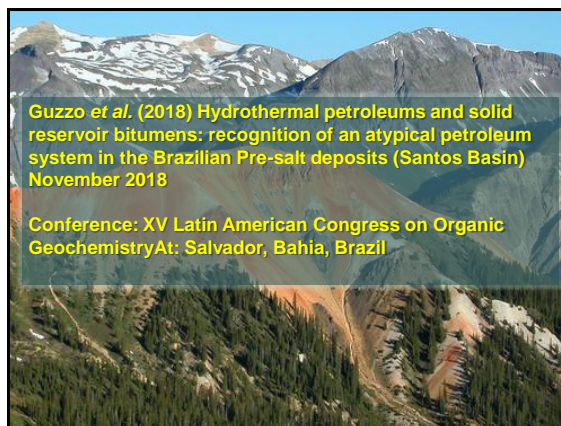
Migração, geração e formação de traps para petróleo (Pré-sal)

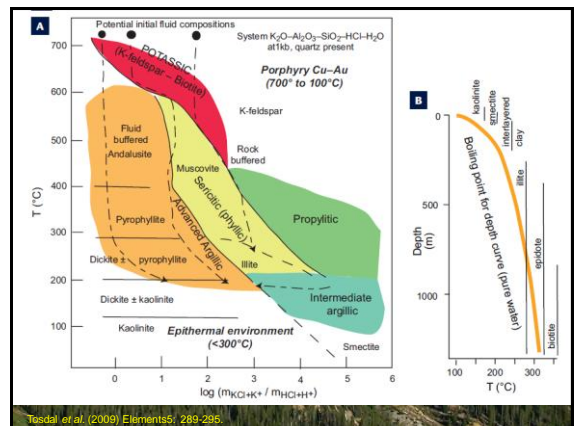
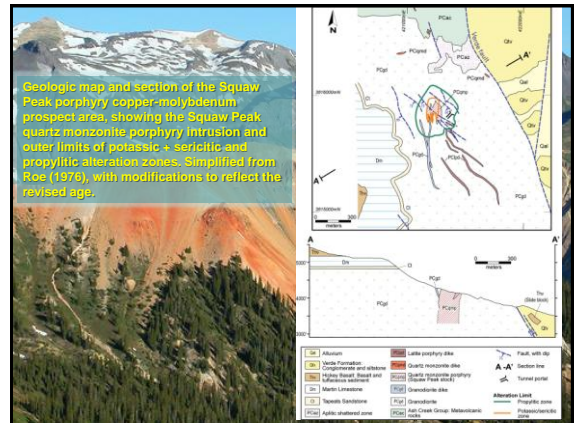
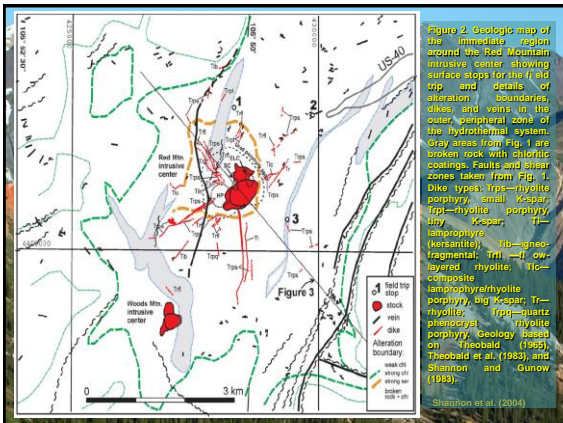
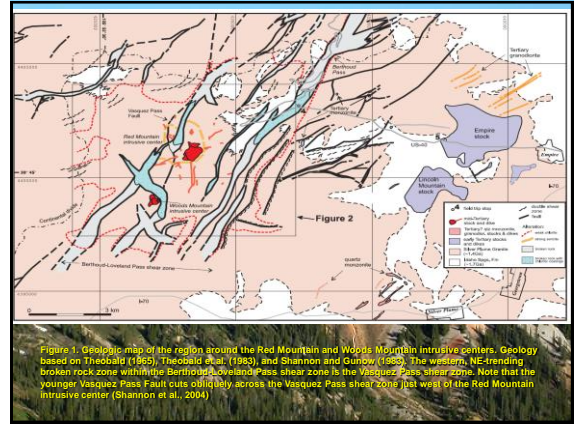
Recuperação ambiental (drenagem ácida, etc)

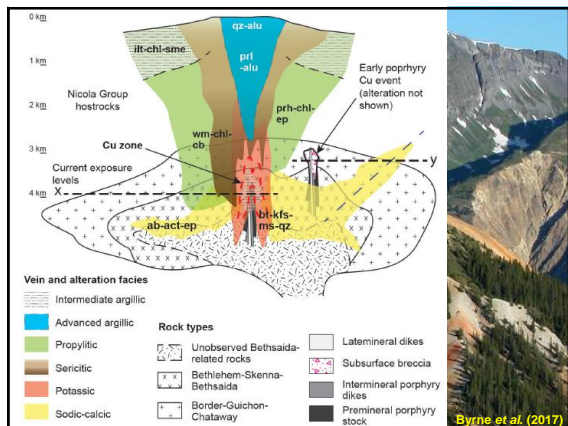


Guzzo *et al.* (2018) Hydrothermal petroleum and solid reservoir bitumens: recognition of an atypical petroleum system in the Brazilian Pre-salt deposits (Santos Basin) November 2018

Conference: XV Latin American Congress on Organic Geochemistry At: Salvador, Bahia, Brazil







Byrne et al. (2017)

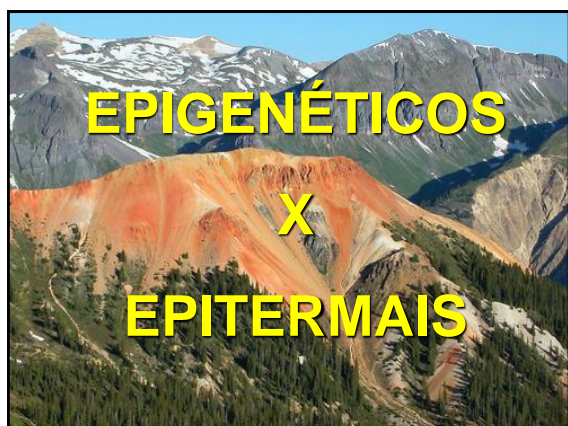
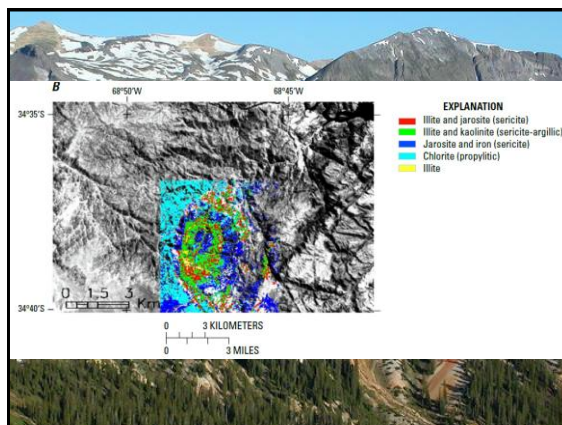
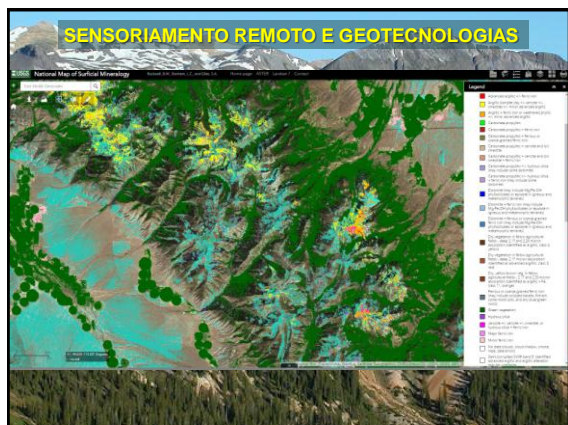
Introduction

Porphyry Cu deposits are the primary source of Cu globally and, although demand ebbs and flows and recycling is increasing, a pipeline of quality projects and resources is needed to replace decreasing inventories (Seedoff et al., 2005; Sillitoe, 2010; Thompson, 2016). Exploration costs and expenditures have increased approximately threefold during the last 12 years (Wilburn et al., 2015; Wood, 2016), yet discovery rates are down and very few new deposits have been found (Sillitoe, 2013). As a result, exploration is moving into underexplored, high-risk political jurisdictions and beneath cover (systems with no surface expression) in known productive belts, necessitating more effective and efficient exploration methodologies and techniques (Sillitoe, 2013; Schodde, 2014; Wood, 2016).

The volume of hydrothermally altered rocks outboard of economically significant concentrations of Cu-Fe-sulfide minerals is termed the porphyry footprint. An understanding of the fluid types that can be present during porphyry Cu formation, how they manifest in the footprint and their spatial distribution with respect to Cu-mineralized portions of the system is critical to developing better exploration tools. This work is part of the Porphyry Copper Footprints Subproject of the Canada Mining Innovation Council (CMIC) and Natural Sciences and Engineering Research Council of Canada (NSERC). Its purpose is to investigate the petrophysical, structural, mineralogical, geochemical and isotopic footprints of the porphyry Cu (aMo) deposits in the Highland Valley Copper (HVC) district of south-central British Columbia (BC; Figure 1). The Teck Highland

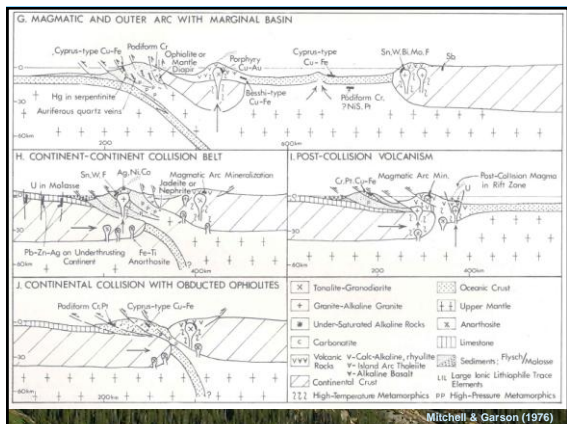
Large-Scale Sodic-Calcic Alteration Around Porphyry Copper Systems: Examples from the Highland Valley Copper District, Guichon Batholith, South-Central British Columbia

Byrne et al. (2017)



Mineralizações epigenéticas

- 1) O depósito forma-se muito depois da rocha hospedeira
- 2) Usualmente tem que haver uma preparação da rocha (*ground preparation*)
- 3) Pode se formar desde junto à superfície até muitos quilômetros de profundidade
- 4) A rocha hospedeira consolidada antes do fraturamento (geralmente rúptil) que proporciona abertura de espaços
- 5) A mineralização forma-se pela precipitação dos metais e demais componentes de um fluido hidrotermal percolante
- 6) Mineralizações epigenéticas podem gradar para síngenéticas

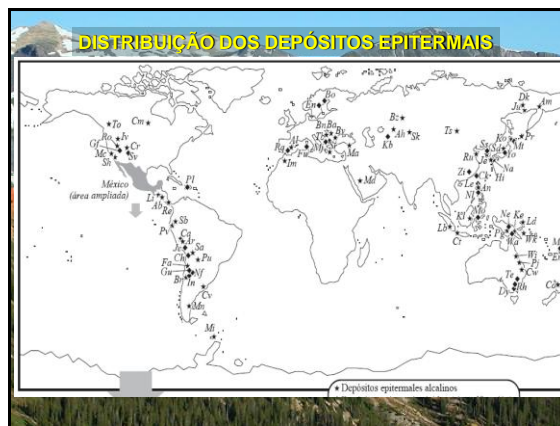
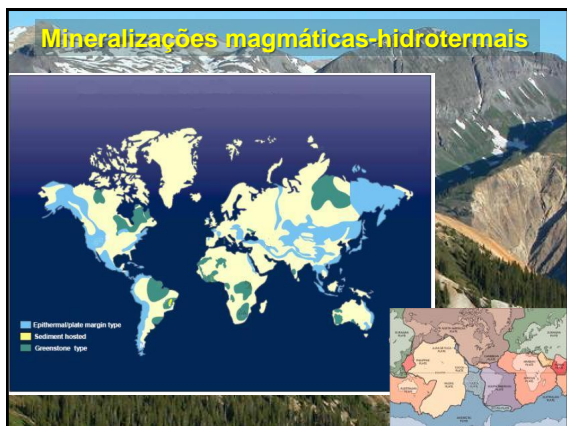
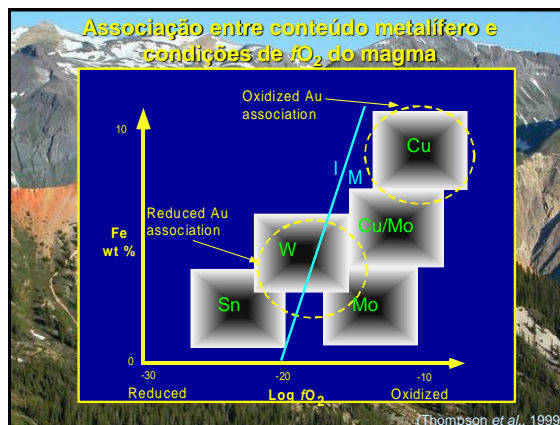
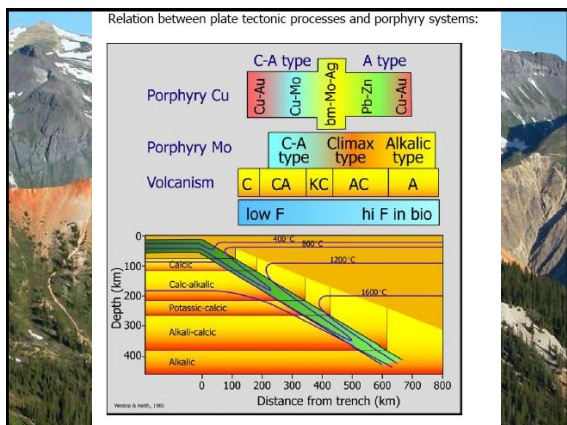


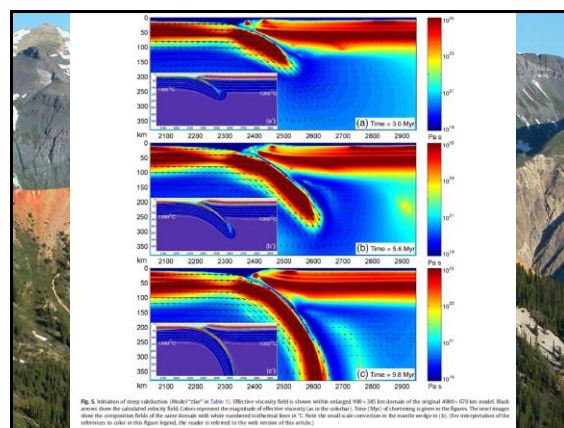
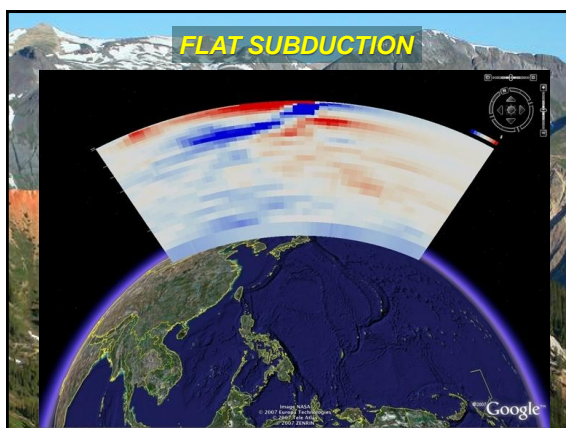
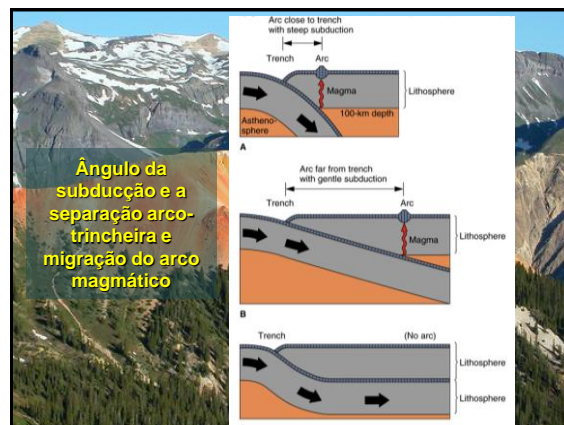
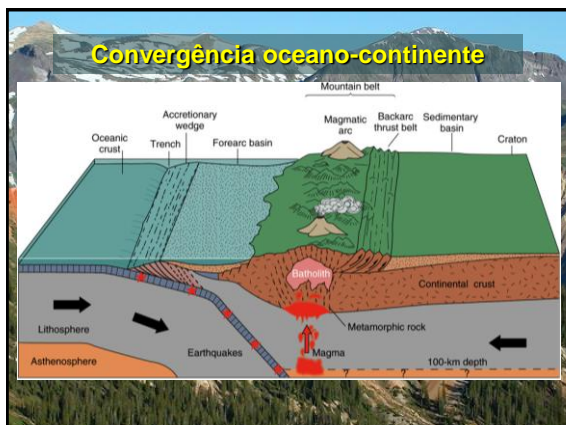
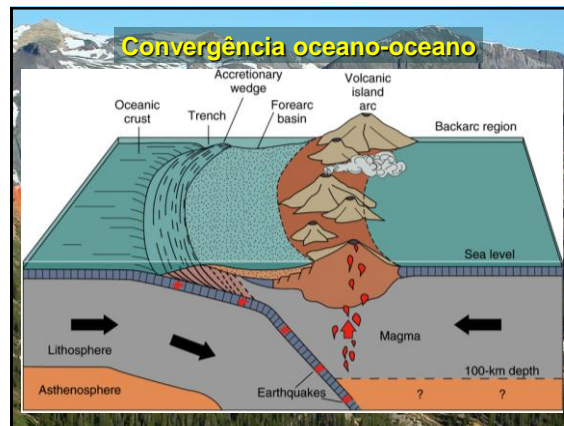
Magmatismo versus ambiente tectónico

Table 18-4. A classification of granitoid rocks based on tectonic setting

	OROGENIC		TRANSITIONAL	ANOROGENIC		
	Oceanic Island Arc	Continental Arc	Post-Orogenic Uplift/Collapse	Continental Rifting - Hot Spot	Mid-Ocean Ridge Ocean Islands	
Examples	Bozupetite, Solomon Islands, Papua New Guinea	Mesonozoic Cordillera batholiths of west America, Quarter Tertiary	Massachusetts and Lakes of Nepal, American Mass of Entaby	Little Cliverson, Pluton of Britain, Basin and Range, Late Mesozoic, early Yellowstone Hotspot	Ngaurun Ring, Otago, British Tertiary (Central Province, Yellowstone Hotspot)	Oman and Troodos ophiolites, Accretion, and Pluton Island intrusives
Geochemistry	Calc-alkaline M-type & I-M hybrid	Calc-alkaline I-type & S-type Met. Al to st. Per. Al	Calc-alkaline S-type	Calc-alkaline I-type S-type (A-type)	Alkaline A-type	Tholeiitic M-type Metaluminous
Rock types	gtr-diorite in mature area	tonalite & granodiorite in granitic or plutonic	gabbro andesite diorite	basalt andesite diorite-gabbro	alkali lavas, tuffs, and coarse rhyolite	Phengite
Associated Minerals	Hbl + Qtz	Hbl, Bt	Hbl + Qtz	Hbl + Qtz	Hbl, Bt, angrite, leucite, Bt, and coarse rhyolite	Hbl
Associated Volcanism	Andesite to diorite in great volume	Andesite and diorite in great volume	often lacking	basalt and rhyolite	alkali lavas, tuffs, and coarse rhyolite	MORB and ocean island basalt
Classification (IAPG)	T_2 tholeiitic island arc	T_2 hybrid calc-alkaline	C_2 hybrid calc-alkaline	C_2 hybrid late orogenic	A_2 alkaline	T_2 alkaline
Classification (IAPG)	VAG (volcanic arc granites)	CAG (continent arc granites)	COLG (collision granites)	POG (post-orogenic granites)	FRG CEUG (within plate and ocean ridge granites)	OP (oceanic island granites)
Major & minor elements	IAG (island arc granites)	CAG (continent arc granites)	COLG (collision granites)	POG (post-orogenic granites)	FRG CEUG (within plate and ocean ridge granites)	OP (oceanic island granites)
Origin	Partial melting of mantle-derived mafic underplate + crustal contribution	PM of mantle-derived mafic underplate + crustal contribution	Partial melting of recycled crustal material	Partial melting of lower crustal mafic and mid crustal mafic	Partial melting of mantle and/or lower crust (anorth)	Partial melting of mantle and/or lower crust (anorth)
Melting Mechanism	Subduction and/or transfer of fluids and dissolved species from slab to wedge	Subduction and/or transfer of fluids and dissolved species from slab to wedge	Tholeiitic island arc plus megacrysts	Crustal heat plus mantle heat (melting action) = magmatism	Crustal heat plus mantle heat (melting action) = magmatism	Crustal heat plus mantle heat (melting action) = magmatism

After: Dostal (1983, 1993), Frey (1980)





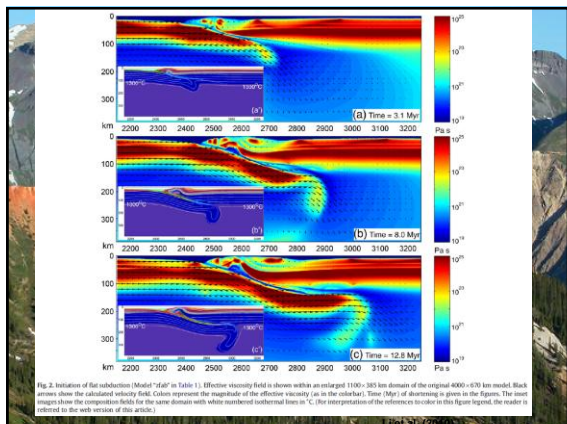
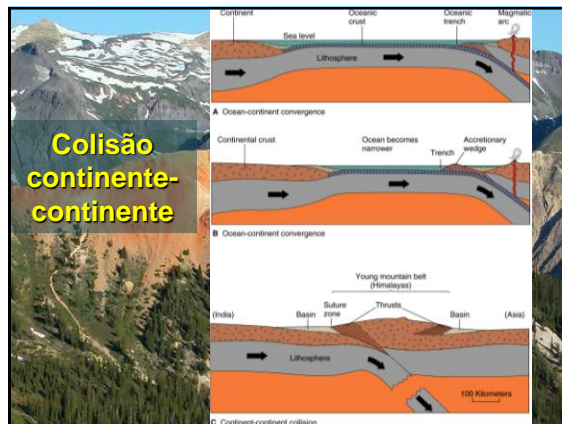


Fig. 2. Evolution of the calculated velocity field for the same domain with white numbered rectangular boxes. The color scale on the right indicates the viscosity values in Pa.s. The interpretation of the reference inside the figure legend, the reader is referred to the web version of this article.



Colisão continente-continente

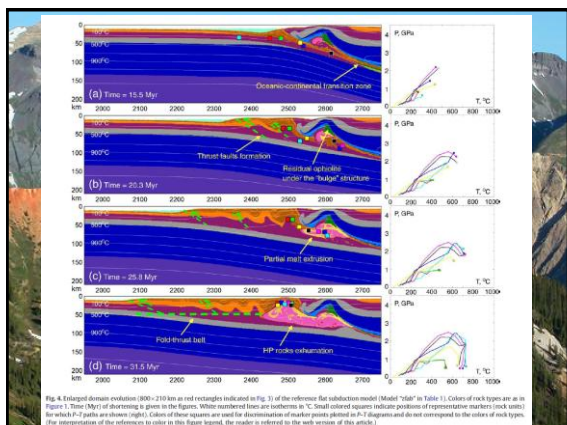
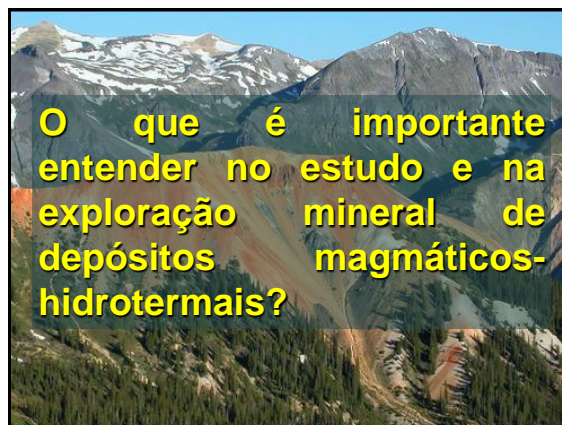


Fig. 4. Enlarged domain evolution (800–2100 km in red rectangles indicated in Fig. 3) of the reference slab subduction model (Model "06b" in Table 1). Colors of rock types are as in Figure 1. Time (Myr) of divergence is given in the figures. White numbered lines are isotherms in °C. Small colored squares indicate positions of representative markers (rock units) for which P-T paths are shown (right). Colors of these squares are used for discrimination of marker positions plotted on P-T diagrams and do not correspond to the colors of rock types. The interpretation of the reference inside the figure legend, the reader is referred to the web version of this article.



O que é importante entender no estudo e na exploração mineral de depósitos magmáticos-hidrotermais?

O contexto tectónico

O tipo do magmatismo, seu zonamento e idade (diferentes arcos vulcânicos)

Identificação de complexos de caldeira vulcânicas e seus controles

Estruturas tectônicas que controlam a colocação dos magmas e canalizam os fluidos

O estado de oxidação dos magmas

As características dos fluidos hidrotermais

Os tipos de alteração hidrotermal, seus estilos, intensidade e distribuição

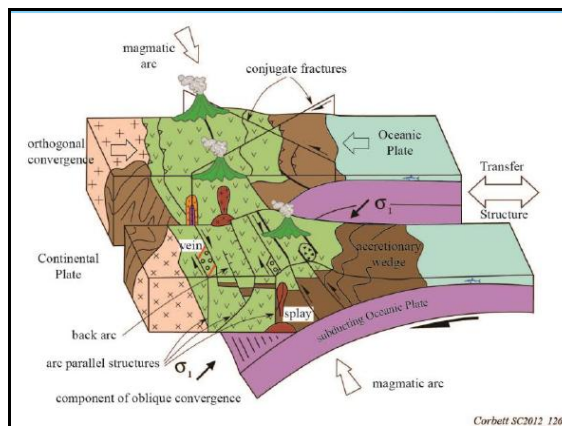
A disponibilidade de metais na fonte ígnea

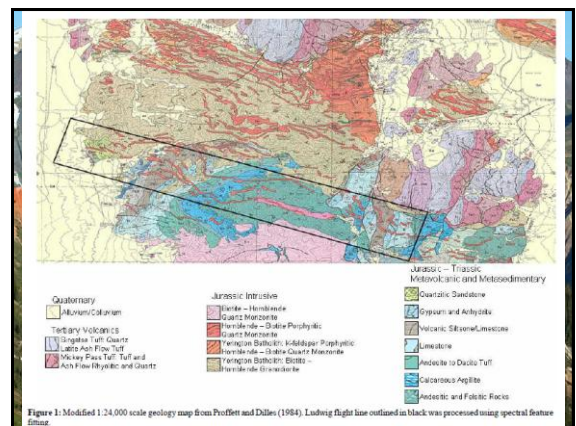
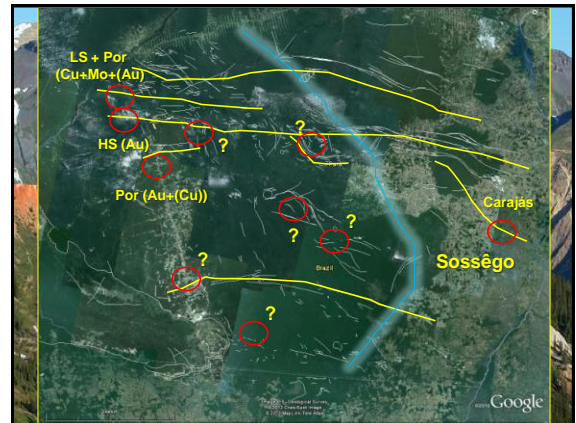
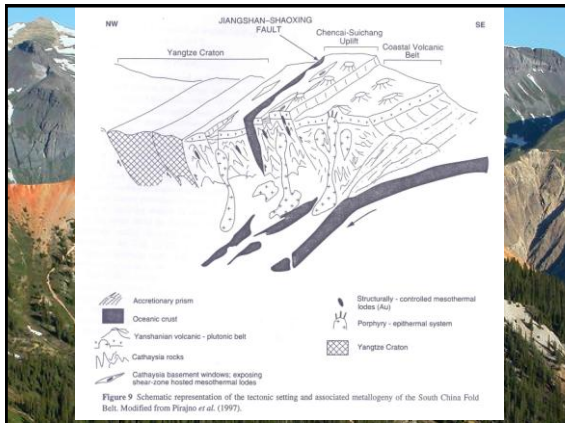
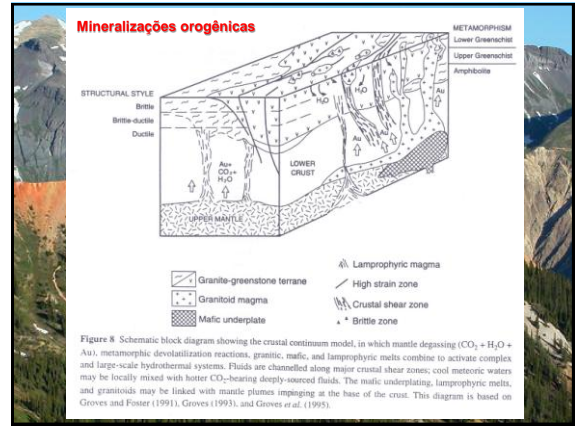
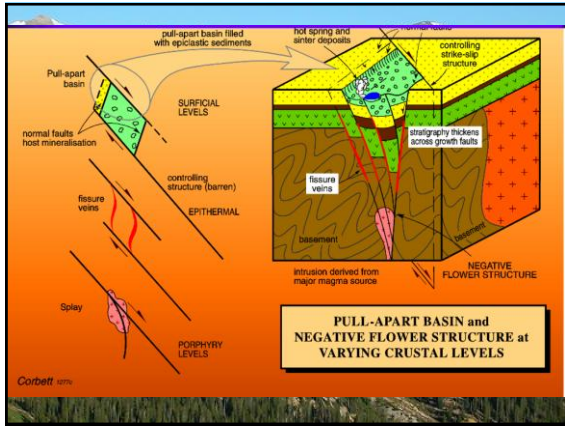
O nível de erosão

A cobertura sedimentar

A movimentação vertical de grandes blocos tectônicos

Metamorfismo





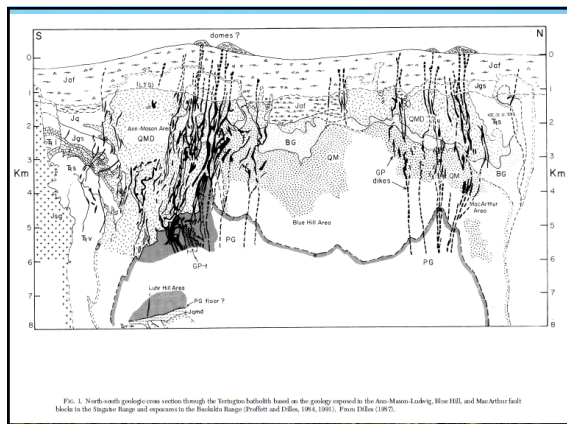
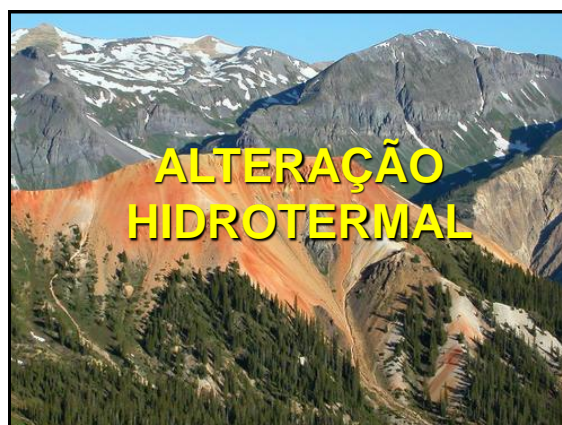
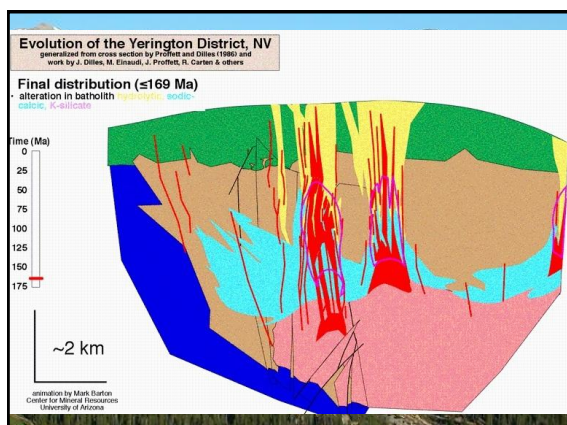
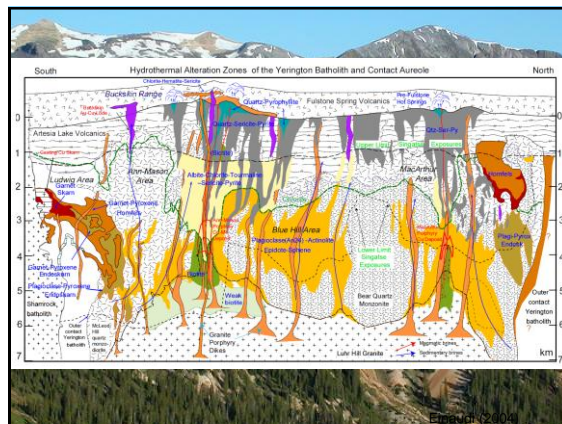


FIG. 1. North-south geologic cross section through the Yerington batholith based on the geology exposed in the Anis-Moon Lake, Blue Hill, and MacArthur fault blocks in the Snake Range and exposures in the Bluebell Range (Proffett and Dilley, 1981, 1991). From Dilley (1987).



Fluido hidrotermal

FLUIDO = H_2O + SAIS + VOLÁTEIS (CO_2 , CH_4 , N_2 , H_2S , etc.)
= Solução aquosa

Soluções diluídas (0,2 – 0,5% solutos) a altamente concentradas (25% solutos) → predominância de Na^+ e Cl^-

Salinidade:
 Muito baixa = 0,2 - 0,5%
 Baixa = 5 - 10%
 Moderada = 10 - 20%
 Muito alta (hipersalina) > 50%

Temperatura variada: 50 °C a > 600 °C

pH variado (ácido, neutro a levemente alcalino)

Voláteis (CO_2 , CH_4 , N_2 , H_2S , etc.) → controlam o estado redox dos fluidos

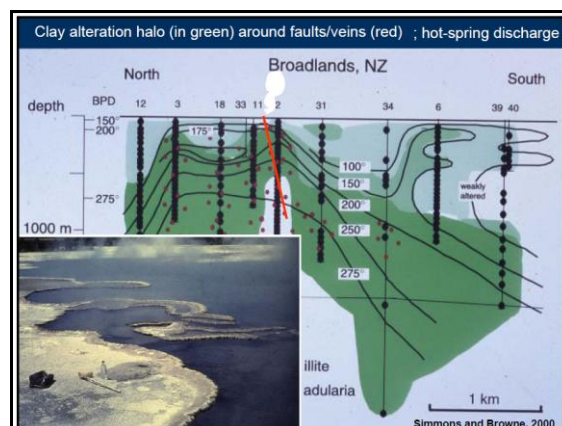
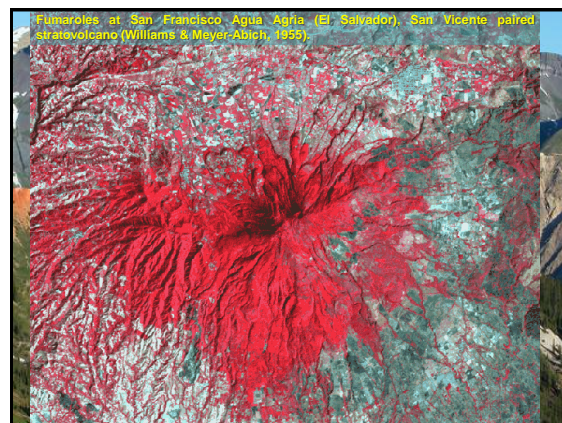
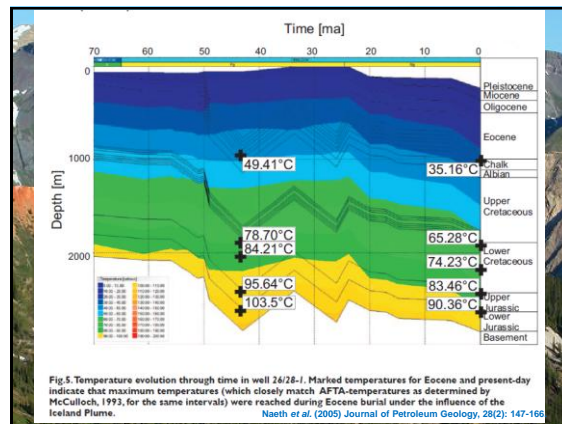
Metals → complexos iônicos (e.g. $Au(HS)^-$; $AuCl_2^-$)
Fluidos transportam os metais

AMBIENTES DA ALTERAÇÃO HIDROTHERMAL

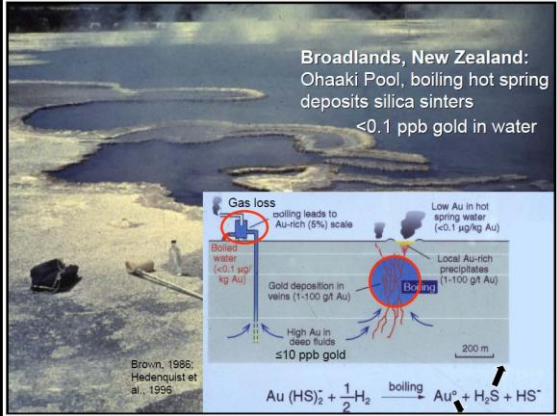
- 1) Diagenese
- 2) Pós-magmatismo
- 3) Metamorfismo
- 4) Metassomatismo
- 5) Hidrotermalismo sem fontes ígneas

TIPOS DE SISTEMAS HIDROTERMAIS

- Magmáticos relacionados a atividade plutônica rasa ou profunda. Ceram depósitos do tipo *Sr-M grebens*.
- Magmáticos-metabólicos a predominantemente metabólicos, presentes em ambientes vulcano-plutônicos a subvulcânicos, relacionados a atividade vulcânica. São responsáveis por mineralizações porfiríticas, skarns, depósitos epitermais de metais preciosos e de base, assim como por diversos tipos de depósitos na forma de veios.
- Atuantes sob o assoalho oceânico. São responsáveis pela formação de uma ampla gama de depósitos vulcanogênicos de sulfetos maciços (Besshi, Cyprus, tipo *Kuroko*, tipo *Noranda*).
- Associados a *rifts* presentes em bacias sedimentares, podendo ou não estarem associados a atividade ígnea. Formam depósitos de sulfetos estratiformes exalativos sedimentares de Broken Hill e Mount Isa - Austrália, Gamsberg-Aggenéys - África do Sul, Sullivan - Canadá.
- Depósitos do tipo *stratabound* de sulfetos encaixados em rochas carbonáticas. Podem ser considerados como membros finais daqueles do grupo (d).
- Sistemas hidrotermais relacionados ao metamorfismo, estando geralmente relacionados a eventos metamórficos progressivos. Depósitos de Au encaixados em turbiditos, depósitos arqueanos tipo *lode*.



Broadlands, New Zealand:
Ohaaki Pool, boiling hot spring
deposits silica sinters
<0.1 ppb gold in water



Gas loss
boiling leads to Au-rich (5%) scale

Boiled water
(<0.1 µg/l
µg Au)

Gold deposition in veins (1-100 g/t Au)

Local Au-rich precipitates (1-100 g/t Au)

Boiling

High Au in ore fluids
≤10 ppb gold

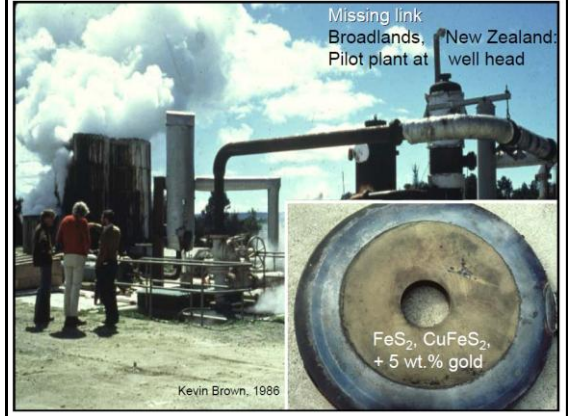
Low Au in hot spring water
(<0.1 µg/kg Au)

200 m

$$\text{Au}(\text{HS})_2 + \frac{1}{2}\text{H}_2 \xrightarrow{\text{boiling}} \text{Au}^0 + \text{H}_2\text{S} + \text{HS}^-$$

Brown, 1986; Hedenquist et al., 1996

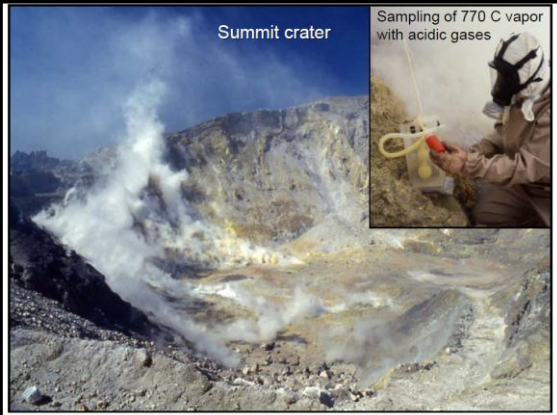
Missing link
Broadlands, New Zealand:
Pilot plant at well head



$$\text{FeS}_2, \text{CuFeS}_2, + 5 \text{ wt. \% gold}$$

Kevin Brown, 1986

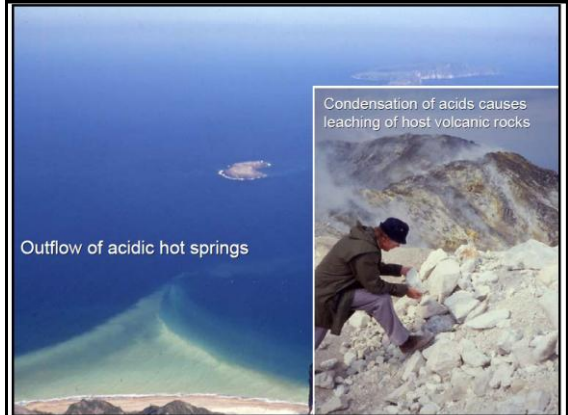
Summit crater



Sampling of 770 C vapor with acidic gases



Outflow of acidic hot springs



Condensation of acids causes leaching of host volcanic rocks

Kawah Ijen, Java: volcanic crater with acidic lake



pH 0.0

Application to gold deposits?

Photograph: Pierre Palmelle



